双齿配体八配位镧系配合物的 结构 化学研究

Lat(S2CNC4H8)3·C4H8O·H2O1的合成和晶体结构

黄锦顺 林善火 王曼芳* 张乾二* 卢嘉锡 (福建物质结构研究所结构化学开放研究实验室)

額的配合物 Lac(S_2 CNC₄H₈)₃·C₄H₈O·H₂O] 是由LaCl₃和 Na (S_2 CNC₄H₈)·2H₂O在四氢呋喃中反应而获得的。它的晶体属于三斜晶 系,空间群为Pi,**单胞**参数 a=10.557(2) Å,b=10.943(3) Å,c=13.443(3) Å, $\alpha=101.83(2)$ °, $\beta=9306(2)$ °, $\gamma=114.90(2)$ °,V=1391.9(1.5) Å ³,Z=2。

关键词: 镧系元素 晶体结构

螯合配体吡咯烷基二硫代甲酸离子($C_4H_8NCS_2$)-是一种含有较软的双硫原 子作为电子给予体。"软碱"的硫原子能较强地配位到"硬酸"的希土离子上,这一行为特别引起化学工作者的注意。

含有La—S键的镧系配合物的结构虽然已有研究⁽¹⁻⁴⁾,但尚不多。由于希土离子 含有f 轨道,具有较大的离子半径,它能提供足够的配位空间而形成多种的配位结构。 最常见的是六配位和八配位结构。但是同样的配位数所形成的配位多面体结构又有显著 不同。六配位中可以形成三角棱柱和八面体结构,也可以介于二者之间⁽⁸⁾。八配 位 配 合物所形成的配位结构可以是扭变的十二面体,也可以是扭变的立方反棱柱结构。因此

木文于1986年6月15日收到。

现在工作单位: 厦门大学化学系

表 1 Lac(S2CNC4H8)3·C4H8O·H2O)的非氫原子坐标和热参数
Table 1 Atomic Coordinates and Thermal Parameters of Non-hydrogen Atoms

| atom | x | y | Z | Beq(A) ² |
|--------|--------------|---------------|-------------|---------------------|
| La | 0.25923(2) | 0.01442(2) | 0.17779(2) | 2.315(5 |
| S(1) | - 0.0556 (1) | - 0.1097 (1) | 0.10547(9) | 3,58 (2 |
| S(2) | 0.0575 (1) | - 0. 1996 (1) | 0.26763(9) | 3.74 (3 |
| S(3) | 0.3348 (1) | 0.2326 (1) | 0.3698 (1) | 3.64 (3 |
| S(4) | 0.2123 (1) | 0.2641 (1) | 0.1769 (1) | 3.93 (3 |
| S(5) | 0.4147 (1) | -0.0653 (1) | 0.32022(9) | 3.57 (3 |
| S(6) | 0.5675 (1) | 0.0958 (1) | 0.17520(9) | 3.78 (3 |
| 0(1) | 0.2313 (3) | -0.2093 (3) | 0.0472 (3) | 4.21 (8 |
| N(1) | -0.2150 (3) | -0.2820 (3) | 0.2112 (3) | 3.07 (8 |
| N(2) | 0.2560 (4) | 0.4296 (3) | 0.3614 (3) | 3,26 (8 |
| N(3) | 0.6904 (3) | 0.0482 (4) | 0.3308 (3) | 2,98 (8 |
| C(1) | -0.0832 (4) | -0.2041 (4) | 0.1964 (3) | 2.70 (9 |
| C(2) | 0.2671 (4) | 0.3186 (4) | 0.3076 (4) | 2,93 (9 |
| C(3) | 0.5695 (4) | 0.0279 (4) | 0.2799 (3) | 2.94 (9 |
| C(11) | -0.2460 (5) | -0.3628 (5) | 0.2884 (4) | 4.2 (1 |
| C(12) | -0.4051 (6) | -0.4229 (8) | 0.2798 (6) | 8.5 (2 |
| C(13) | -0.4606 (6) | -0.4063 (6) | 0.1880 (6) | 7.3 (2 |
| C(14) | -0.3445 (4) | -0.2956 (5) | 0.1533 (4) | 4.0 (1 |
| C(21) | 0.1916 (5) | 0.5067 (5) | 0.3182 (4) | 4.5 (1 |
| C(22) | 0.1770 (7) | 0.5984 (6) | 0.4098 (5) | 8,7 (2 |
| C(23) | 0.2691 (7) | 0.6107 (6) | 0.4945 (6) | 9.2 (2 |
| C(24) | 0.2981 (5) | 0.4840 (5) | 0.4733 (4) | 4.4 (] |
| C(31) | 0.7033 (4) | 0.0030 (5) | 0.4210 (4) | 3.9 (1 |
| C(32) | 0.8548 (5) | 0.0241 (5) | 0.4383 (4) | 4.6 (1 |
| C(33) | 0.9314 (5) | 0.1502 (6) | 0.4006 (5) | 4.8 (1) |
| C(34) | 0.8321 (4) | 0.1336 (5) | 0.3069 (4) | 4.2 (1) |
| C(41) | 0.1189 (6) | -0.2897 (5) | -0.0379 (5) | 5. 1 (1) |
| C(42) | 0.1517 (7) | -0.4023 (6) | -0.0946 (5) | 6.4 (2) |
| C(43) | 0.2547 (7) | -0.4099 (6) | -0.0203 (7) | 6,4 (2) |
| C (44) | 0.3002 (7) | -0.2921 (6) | 0.0629 (6) | 7.9 (2) |
| O(2) | 0.2998 (3) | 0.0604 (3) | 0.0006 (2) | 3.92 (7) |

镧系配合物配位多面体结构的研究,对于丰富和发展结构化学基础理论是有意义的。

实验部分

-. La[(S₂CNC,H₈)₃·C,H₈O·H₂O]的合成

LaCl₃(1.0g, 4.08mmol)加上Na(C₄H₈NCS₂)·2H₂O(2g, 9.94mmol)在50ml的四氢呋喃中,并在氮气氛下室温(26~28℃)反应 3 小时,过滤后,用少量正已烷沉淀得到白色的棱柱型小晶体。

二. 结晶学数据

将一棱柱型的白色小晶体装入 lindemann 玻璃毛细管中并 充 满 氫 气。在 Enraf-Nonius CAD—4 衍射仪上用 MoK_a 射线收集衍射数据。 采用 ω —2 θ 扫 描 方 式, 在 2° < 2θ < 50° 范围内共收集了5001个衍射点。数据经Lp因子和经验吸收校正得到了 4534个 $I > \sigma(I)$ 的独立衍射点。

晶体属三斜晶系,单胞参数a=10.557(2) Å,b=10.943(3) Å,c=13.443(3) Å, $\alpha=101.83(2)$ °, $\beta=93.06(2)$ °, $\gamma=114.90(2)$ °, V=1361.6(1.5) Å ³ ,根据 $f_w=655.70$ 和Z=2 计算密度 $D_{calcd.}=1.599g/cm^3$ 可能的空间群为P1或P1,结构测定结果确定空间群为P1。

三。结构测定和修正

采用 $E_{nraf-Nonius}$ 公司提供的SDP程序进行结构计算。首先从三维 Patterson 函数图中解出重原于La的位置参数,然后经差 F_{ourier} 合成找出其余的所有非氢原子坐标,再经几轮的非氢原子的位置参数和各向异性热振动参数的全矩阵最小二乘法修正,结果的偏离因于R=0.032, $R_{w}=0.046$ 。最后的差值 F_{ourier} 合成没有出现异常的结构特征。

原子的位置和热振动参数列于表1,原子键长和键角值列于表2。

表 2 **键长(Å)和主要的结角(°)** Table 2 Bond Lengths and Selected Bond Angles

| atom | atom | distance | atom | atom | distance | atom | atom | distance |
|------|------|-----------|-------|-------|----------|----------|-------|----------|
| La | S(1) | .3.025(1) | S(6) | C(3) | 1.724(4) | C(12) | C(13) | 1.415(8) |
| La | S(2) | 2.952(1) | 0(1) | C(41) | 1.434(5) | C(13) | C(14) | 1.494(5) |
| La | S(3) | 2.941(1) | 0(1) | C(44) | 1.418(6) | C(21) | C(22) | 1.480(7) |
| La | S(4) | 2.976(1) | N(1) | C(1) | 1.342(4) | C(22) | C(23) | 1.404(8) |
| La | S(5) | 2.945(1) | N(1) | C(11) | 1.461(5) | C(23) | C(24) | 1.517(6) |
| La | S(6) | 2.995(1) | N(1) | C(14) | 1.472(5) | C(31) | C(32) | 1.494(5) |
| La | 0(1) | 2.596(3) | N(2) | C(12) | 1.334(5) | C(32) | C(33) | 1.485(6) |
| La | O(2) | 2.555(3) | N(2) | C(21) | 1.467(5) | C(33) | C(34) | 1.524(6) |
| S(1) | C(1) | 1.717(3) | N(2) | C(24) | 1.467(5) | C(41) | C(42) | 1.491(7) |
| S(2) | C(1) | 1.701(3) | N(3) | C(3) | 1.324(4) | C (42) | C(43) | 1.476(9) |
| S(3) | C(2) | 1.710(1) | N(3) | C(31) | 1.459(5) | C(43) | C(44) | 1.405(8) |
| S(4) | C(2) | 1.718(4) | N(3) | C(34) | 1.487(4) | in is | | |
| S(5) | C(3) | 1.710(3) | C(11) | C(12) | 1.511(6) | | | |

续表2

| atom | atom | atom | angle | atom | atom | atom | angle |
|--------------|------|------|-----------|-------|------|------|-----------|
| S(1) | La | S(2) | 59.26(2) | S(3) | La | S(5) | 76.43(3) |
| S (1) | La | S(3) | 109.14(3) | S(3) | La | S(6) | 88.94(3) |
| S(1) | La | S(4) | 77.18(3) | S(3) | La | 0(1) | 161.10(6) |
| S(1) | La | S(5) | 129.18(3) | S(3) | La | O(2) | 124.57(7) |
| S(1) | La | S(6) | 160.78(3) | S (4) | La | S(5) | 136.04(3) |
| S(1) | La | O(1) | 81.84(7) | S (4) | La | S(6) | 107.72(3) |
| S(1) | La | O(2) | 88.55(7) | S(4) | La | 0(1) | 138.22(7) |
| S(2) | La | S(3) | 92.35(3) | S(4) | La | O(2) | 74.14(9) |
| S(2) | La | S(4) | 117.44(3) | S(5) | La | S(6) | 60.14(3) |
| S(2) | La | S(5) | 70.21(3) | 0(1) | La | O(2) | 69.61(1) |
| S(2) | La | S(6) | 128.48(3) | S(5) | La | C(1) | 84.71(6) |
| S(2) | La | 0(1) | 79.94(7) | S(5) | La | C(2) | 131.09(9) |
| S(2) | La | O(2) | 138.62(6) | S(6) | La | 0(1) | 82.65(7) |
| S(3) | La | S(3) | 60.56(3) | S(6) | La | O(2) | 75.42(7) |

结果与讨论

La[($S_2CNC_4H_8$) $_3\cdot C_4H_8O\cdot H_2O$]分子构型如图 1 所示。分子中六个 S 原子 和二个 O 原子围绕着La原子形成了扭变三角形十二面体型的结构或近似地为立方棱 柱 型 的结构。而在 La[$S_2P(OEt)_2$] $_3\cdot (POPh_3)$ 配合物中⁽⁵⁾, 六个 S 原 子 和 二 个 O 原 子 (POPh₃ 中的氧原子)围绕着La形成了扭变立方反棱柱型的结构。比较这二种配合物,同样是以六个 S 原子和二个 O 氧子键联到La原子,为什么会引起配位几何结构上明显不同?这可能主要是由于二个 O 原子所在基团的空间位阻不同所引起的,在La[$S_2P(OEt)$]

 $)_2$] $_3$ ·(POPh $_3$) $_2$ 中二个POPh $_3$ (O=P $\stackrel{\text{Ph}}{\leftarrow}$ Ph)配体空间位阻大于配体之间的排斥作用,

使配体相互交错而形成较为稳定的立方反棱柱结 构。而 La((S_2 CNC₄H₈)₃·C₄H₈O·H₂O) 化合物中二个O氧子是来源于H₂O和THF分子,这二个分子空间位阻较小, 因而,根据f-轨道的对称性分析,由于f-轨道参与成键可以形成近似扭变立方棱柱型的结构,也就是形成重叠式的结构,因此结构中O……O距离(2.939 Å)基本上接近于(C₄-H₈NCS₂)配体中S……S平均距 离(2.937 Å),O—La—O角度为69.6°。而在 La $\{S_2P(OEt)_2\}_3\cdot(POPh_3)$ 配合物中O—La—O角度为152.8°。

镧系配合物通常形成较高配位数的配位几何结构。这种配位数和配位构型在很大程度上受到配体的空间效应,也就是配体之间排斥能 所 支 配 。 在 La $\{(C_6H_{11})_2PS_2\}_3$ ($L_n = PrnSm$) 化合物中 $(^2)$, L_n 由六个 S原子形成扭变的三角棱柱的六配位结 构,这可能是由于配体 $(S_2P < \bigcirc)$ 空间效应大,使之不可能形成较高的八配位配合物,而

 S_2P <Me由于空间位阻小,只有形成较高配位数即八配位的结构 $(^6)$,才能使配位空间尽可能密堆积,成为较稳定的结构。我们所用的配体吡咯烷基二硫代甲酸离子 $(C_4H_8-NCS_2)$ -空间位阻较小,如果形成六配位,就不可能满足尽可能高的堆积密度。因此它还能接受给电子基团THF和 H_2O 分子,这样就形成较为稳定的六个S原子和二个O原子的八配位结构。但它也可以同四个 $(C_4H_8NCS_2)$ -形成八个S原子的八配位结构(待发表)。

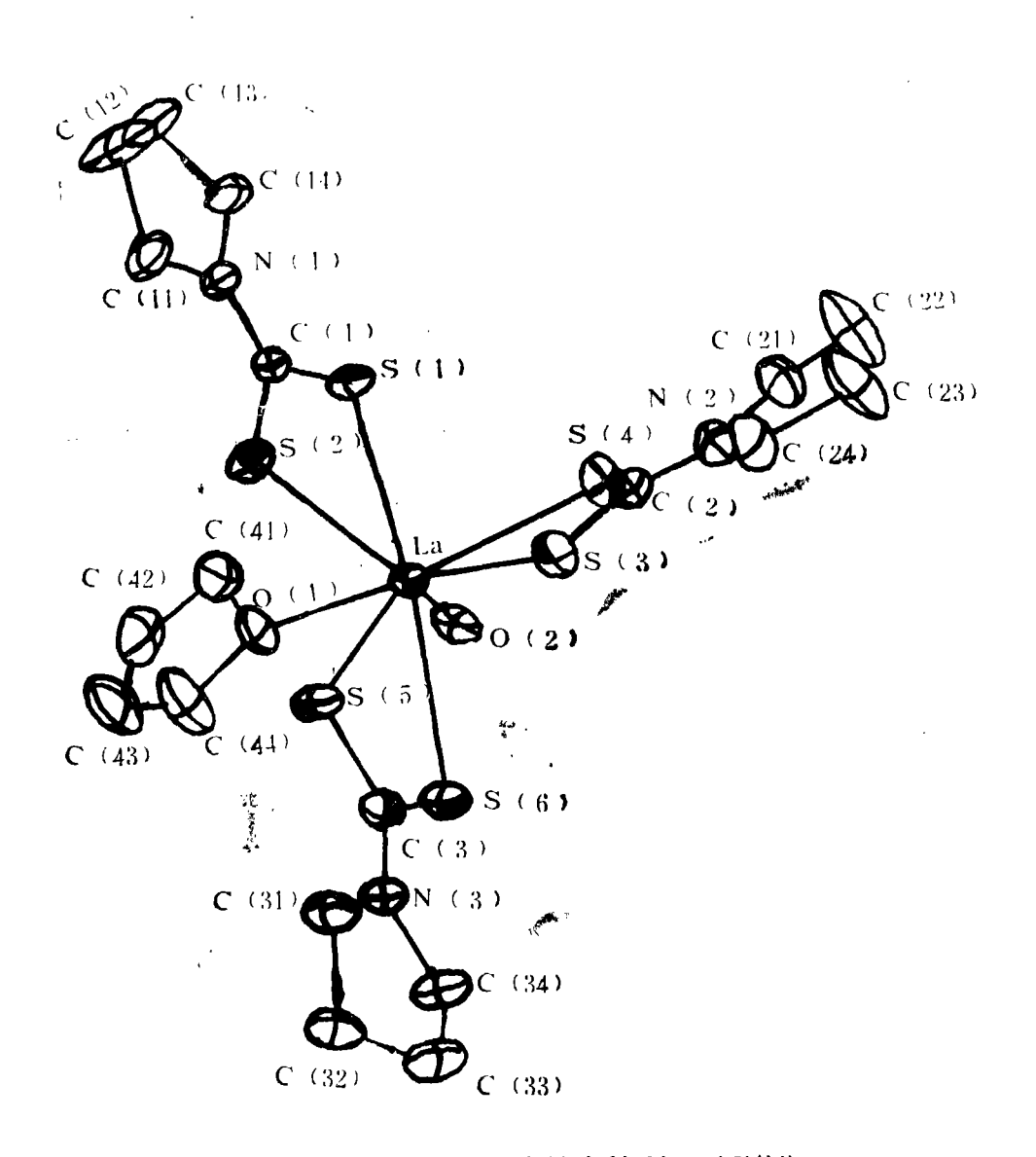


图 1 La [(S₂CNC₄H₈)₃·C₄H₈O·H₂O] 的分子结构 Fig. 1 Molecular structure of La((S₂CNC₄H₈)₃·C₄H₈O·H₂O)

参考 文献

- [1] Ciampolini, M., Nardi, N., Colamarino, P., Orioli, P., J. Chem. Soc. Dalton Trans., 379(1977).
- [2] Meseri, Y., Pinkerton, A.A., Chapuis, G., J. Chem. Soc. Dalten Trans., 725(1977).
- [3] Pinkerton, A.A., Schwarzenbach, D., J. Chem. Soc. Dalton Trans., 1300
- [4] Tilley, T. D., Andersen, R. A., Zalkin, A. and Templeton, D. H., Inorg. Chem., 21, 2644 (1982).
- [5] Pinkerton, A.A., Schwarzenbach, D., J. Chem. Soc. Dalton Trans., 2464 (1976).
- [6] Pinkerton, A. A. and Schwarzenbach, D., J. Chem. Soc. Dalton Trans., 2464 (1976).

STRUCTURAL CHEMISTRY OF EIGHT-COORDINATE COMPLEXES OF LANTHANIDE WITH BIDENTATE LIGANDS

I. SYNTHESIS AND CRYSTAL STRUCTURE OF La($(S_2CNC_4H_8)_3$ $\cdot C_4H_8O\cdot H_2O$)

Huang Jinshun Lin Shanhuo Wang Manfang Zhang Qianer Lu Jiaxi (Fuzhou Laboratory of Structural Chemistry, Fujian Institute of Research on the Structure of Matter)

The lanthanum complex $La(S_2CNC_4H_8)_3 \cdot C_4H_8O \cdot H_2O$ was prepared by reacting $LaCl_3$ with $La(S_2CNC_4H_8) \cdot 2H_2O$ in THF.

The X-ray crystal and molecular structure of the lanthanum complex has been determined from diffractometer data. Crystallographic data are as follows: triclinic, space group Pī, with a=10.557(2), b=10.943(3), c=13.443(3)Å, $\alpha=101.83(2)$, $\beta=93.06(2)$, r=114.90(2), V=1361.6(1.5)Å 3 , Z=2.

The structure was solved by Patterson method and refined by full matrix least-square techniques for 4534 reflections with $I > 2\sigma(I)$, R = 0.032, $R_w = 0.046$.

The molecule consists of the La atom bonded to six sulfur atoms of the (C₄H₈NCS₂)⁻ ligand and to two oxygen atoms. The mean La-S distance is 2.973 Å. The La-O(H₂O) and La-O(THF) distances are 2.555 Å and 2.596 Å, respectively. The coordination polyhedron can be described as a distorted dodecahedron.

Keywords lanthanide element crystal structure